

unilateral
8, 44, 24,
pronoun-
by means
characteris-
the right
e functio-
ween two
al lobe is
f informa-
r the left

УДК 512.826.1

М. Я. Волошин

ФУНКЦИОНАЛЬНЫЕ ВЗАИМООТНОШЕНИЯ РЕТИКУЛЯРНОГО И ВЕНТРАЛЬНОГО ПЕРЕДНЕГО ЯДЕР ТАЛАМУСА С КОРОЙ БОЛЬШИХ ПОЛУШАРИЙ ГОЛОВНОГО МОЗГА

С момента опубликования работы Морисона и Демпси [20], положившей начало современному этапу в исследовании таламо-кортикалльных взаимоотношений, получено большое количество данных о влиянии неспецифической системы зрительного бугра на кору головного мозга. Однако до сих пор нет единой точки зрения по поводу того, как эти структуры изменяют функциональное состояние неокортекса.

Одни авторы утверждают, что импульсы, поступающие из неспецифических ядер, вызывают облегчение ответа нейронов коры мозга на последующее специфическое раздражение [8, 9, 19, 22], другие отмечают тормозящий эффект неспецифического кондиционирования [17, 21]. Согласно третьей точке зрения, раздражение неспецифического ядра вызывает то торможение, то облегчение специфической посылки в зависимости от функционального состояния нейронов коры, которое различно в фазе нарастания и фазе убывания реакции рекрутования [5].

Наличие в оральных отделах ретикулярного (R) и вентрального переднего (VA) ядер нейронов, реагирующих на стимуляцию неокортекса антидромно [2, 3, 23, 27] и накапливающих введенную в кору пероксидазу хрина [4], подтверждает предположение, высказанное в свое время Джаспером [14], что эти ядра являются «выходом» неспецифической системы таламуса в кору головного мозга.

Такое положение R и VA дает возможность использовать электрическую стимуляцию этих структур для выяснения влияния неспецифической системы таламуса на неокортекс.

В настоящей работе, которая является продолжением исследований, опубликованных нами ранее [1], были поставлены задачи изучить реакции нейронов соматосенсорной и моторной областей коры головного мозга кошки на электрическую стимуляцию R и VA; выявить конвергенцию на одном нейроне коры импульсов, поступающих от R и VA и соответствующего релейного ядра; установить функциональное значение такой конвергенции для анализа информации, поступающей к нейрону по специфическим афферентным каналам.

Методика исследований

Опыты проведены на кошках, наркотизированных тиопенталом натрия, введенным внутрибрюшинно (35 мг/кг) и обездвиженных миорелаксином (2 мг/кг). Подробности операции, методика отведения электрических реакций отдельных нейронов коры, техника реконструкции треков микроэлектродов и локализации кончиков раздражающих электродов на фронтальных гистологических срезах мозга описаны нами ранее [1].

Проведено две серии опытов. В первой серии изучали реакции нейронов соматосенсорной коры — SI (задняя сигмовидная извилина, поле 3), во второй серии исследовали нейроны моторной коры — MI (поле 6).

Раздражающие электроды представляли собой две склеенные, изолированные на всем протяжении, кроме торцов, никромовые проволочки диаметром 90 мкм. Радиус эффективного раздражаемого пространства у электродов такой конструкции составляет 0,5 мм.

Стереотаксические координаты [15] для введения раздражающих электродов были следующими: VPL—Fr=9,0—9,5; L=7,0; H=+1,0; VL—Fr=11,0; L=4,0; H=+2,0; R—Fr=12,5—13,0; L=4,0; H=+2,0—3,0; VA—Fr=12,0—12,5; L=3,0—3,5; H=+2,0.

В области фронтальных срезов 12,0—13,0 взаимное расположение R и VA таково, что при введении раздражающего электрода в одно из этих ядер второе ядро также стимулируется петлями тока. Учитывая это обстоятельство, при дальнейшем изложении материала стимуляция оральных отделов R и VA обозначается как раздражение R вне зависимости от того, в R или VA располагался кончик электрода. Волокна медиальной петли раздражали в области их выхода из ядер дорсальных столбов. Электроды для стимуляции этой области устанавливали под визуальным контролем после расширения большого затылочного отверстия. Для элекрокожного раздражения игольчатые электроды вкалывали в подушечки передней лапы на стороне контраглатеральной отведения. Применяли прямоугольные толчки тока длительностью 0,3 мс и частотой 0,7—7,0 с. При раздражении R в ряде случаев использовали серию из трех-четырех стимулов частотой 300—400/с. Такой режим стимуляции имитировал частоту, характерную для разрядов нейронов этого ядра. Стимуляция R с высокой частотой позволяет в ряде случаев усилить наблюдаемый эффект, что отмечают и другие авторы [13]. Для выявления реакции фонового ритма исследуемых нейронов на раздражение R строили ПСТ-гистограммы. Влияние R на ответоспособность нейронов по отношению к тестирующему стимулу определяли путем сравнения вероятности возникновения ответов на тестирующий стимул зарегистрированных до и после включения кондиционирующего раздражения. Представленные в работе графики строили на основании 10—20 реализаций соответствующей реакции.

Результаты исследований

Исследованы 209 нейронов SI и 174 нейрона MI. В области SI активность 44 нервных клеток изучали посредством внутриклеточного отведения, у шести — квазивнутриклеточно и у 159 — внеклеточно. В области MI отводящий микроэлектрод был введен внутрь клетки у 29 нейронов, у 18 отведение было квазивнутриклеточным. Остальные 127 нейронов MI исследованы внеклеточно.

Большинство исследованных нейронов (183 и 149 в SI и MI соответственно) имели фоновую активность, остальные были молчащими.

Среди обследованных нейронов SI обнаружено 13 нервных клеток (6,2 %), которые реагировали на стимуляцию R с коротким (0,6—2,0 мс), стабильным для каждого нейрона латентным периодом. При повышении частоты стимуляции до 300—400/с эти нейроны сохраняли способность реагировать на каждый стимул одиночным потенциалом действия. На основании этих признаков описанные реакции были расценены как антидромные. В MI обнаружено восемь таких нейронов (4,6 % от числа нервных клеток исследованных в этой зоне). Минимальный латентный период антидромного ответа, зарегистрированный в области MI, равен 0,6 мс, максимальный — 2,5 мс.

Если принять расстояние от SI до R равным 16 мм, а от MI до R — 18 мм, то расчет скорости проведения антидромного возбуждения по аксонам нейронов SI и MI, идущим к R, дает для обеих зон коры практически одинаковые результаты: 8,0—26,8 м/с и 7,2—30,0 м/с соответственно для SI и MI.

Как в SI, так и в MI среди нейронов, реагировавших на стимуляцию R антидромно, были обнаружены нервные клетки (семь — в SI и пять — в MI), у которых за антидромным ответом развивалась ортодромная реакция (торможение или возбуждение).

Ортодромное возбуждение нейронов SI, вызванное раздражением R, выражалось ВПСП, реакцией типа ВПСП-пик (при внеклеточном отведении такой ответ имел вид одиночного потенциала действия), нарастании

частоты спонтанно выраженного латентного нервной клетки наблюдаемых действий, следовавших ряда 17,0 мс).

Возбуждение в виде более часто встречающимися

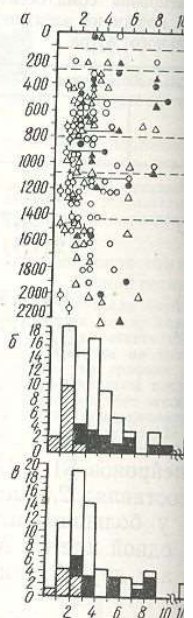


Рис. 1. Корреляционное поле реагирующих на стимуляцию R ТПСП по латентному периоду р. На а: по горизонтали — время, мс; к — нейроны SI, треугольники — нейронаами потенциалами действия, светлые ТПСП. Если за антидромной реакцией стоящие значения соединены. Границы (MI) — по вертикали — количество нейронов. На гистограммах данные, антидромные пики

стимуляцию R — 30,1 % (одинично — 30,0 мс (р

При исследовании нейронов в виде одиночного ортодромного пика чаще (24,7 %), чем другие. Латентный период ортодромных ответов MI колебался от 1,3 до 40,0

Как в SI, так и в MI ортодромные пики потенциалов 4—5 мс после нанесения рисунка видно, что в I и II нервные клетки, реагирую-

ванные
см. Ра-
ни сос-
лов бы-
2,0; R—
= +2,0.
таково,
же сти-
ожении
ение R
кна ме-
л. Элек-
м после
иголь-
ральной
часто-
х-четы-
частоту,
астотой
типе ав-
раздраж-
нов по
возник-
лючения
а осно-

SI ак-
ого от-
В об-
29 ней-
27 ней-

ответ-
и.

клеток
(0,6—
м. При
страняли
циалом
ли рас-
нейронов
Биноми-
ческий в

до R—
ния по
ы прак-
соответ-

уляцию
пять —
дромная

ажением
чном от-
, нарас-

танием частоты спонтанной активности исследуемого нейрона без четко выраженного латентного периода (тоническое возбуждение). У одной нервной клетки наблюдалась реакция в виде разряда из пяти потенциалов действия, следовавших с частотой 220/с (латентный период разряда 17,0 мс).

Возбуждение в виде одиночного потенциала действия является наиболее часто встречающимся типом ортодромной реакции нейронов SI на

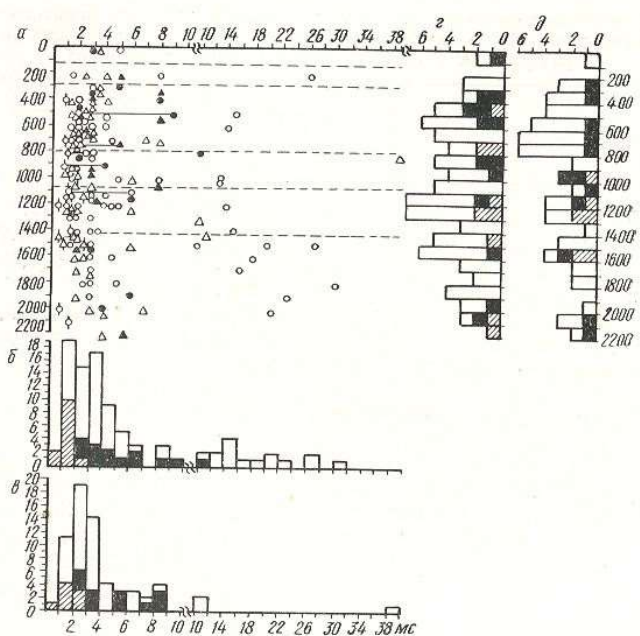


Рис. 1. Корреляционное поле (а) и гистограммы распределения нейронов SI и MI, реагирующих на стимуляцию R антидромно, ортодромным потенциалом действия и ТПСП по латентному периоду реакции (б, в) и расположению по глубине коры (г, д). На а: по горизонтали — время, мс; по вертикали — глубина погружения микроэлектрода. Кружки — нейроны SI, треугольники — нейроны MI. Светлые значки — нейроны, реагирующие ортодромными потенциалами действия, светлые значки с отростками — антидромные реакции, темные — ТПСП. Если за антидромной реакцией в том же нейроне возникает ортодромный ответ, соответствующие значки соединены. Границы слоев коры нанесены пунктиром, по [8]. На б (SI) и в (MI) — по вертикали — количество ответов; на г (SI) и д (MI) — по горизонтали — количество нейронов. На гистограммах данные, относящиеся к антидромным реакциям, заштрихованы, ортодромные пики — светлые, ТПСП — черные столбики.

стимуляцию R — 30,1 % (см. таблицу). Минимальный латентный период одиночного ортодромного пика у нейронов SI составлял 1,5 мс, а максимальный — 30,0 мс (рис. 1, а, б).

При исследовании нейронов области MI ответ на раздражение R в виде одиночного ортодромного пика также наблюдался значительно чаще (24,7 %), чем другие типы возбудительных реакций (3,4 %). Латентный период ортодромных потенциалов действия у разных нейронов MI колебался от 1,3 до 40,0 мс (рис. 1, а, в).

Как в SI, так и в MI большинство нейронов, реагирующих ортодромным пиковым потенциалом, включаются в реакцию в течение первых 4—5 мс после нанесения раздражения (рис. 1, б, в). На том же рисунке видно, что в I и II слоях коры встречаются лишь единичные нервные клетки, реагирующие на стимуляцию R. Такие нейроны, как

правило, располагаются в III—IV и верхних отделах V слоев коры (рис. 1, г, д).

Торможение нейронов коры в ответ на раздражение R проявлялось ТПСП, частичным или полным торможением спонтанного ритма, а в случаях редкой и нерегулярной спонтанной активности обнаруживалось методом «парных стимулов» по блокированию ответа на тестирующее раздражение после обусловливающей стимуляции R.

Характеристика первичных ортоломных реакций нейронов соматосенсорной (SI) и моторной (MI) областей коры головного мозга кошки на электрическое раздражение ретикулярного ядра зрительного бугра

Тип реакции	Область отведения	
	SI	MI
ВПСП	4 (1,9)	4 (2,3)
Одиночные пики	63 (30,1)	43 (24,7)
Разряды	1 (0,5)	2 (1,1)
Тоническое возбуждение	8 (3,9)	—
Торможение	49 (23,4)	48 (27,7)
Отсутствие реакции	84 (40,2)	77 (44,2)
Всего исследовано (100 %)	209	174

В скобках указано количество нейронов в процентах.

Первичный ТПСП зарегистрирован у 14 нейронов SI и 13 нейронов MI. Минимальный латентный период ТПСП составлял 2,0 мс, максимальный — 10,0 мс. Продолжительность ТПСП у большинства нейронов колебалась в диапазоне 25—69 мс, однако, у одной клетки MI был зарегистрирован короткий ТПСП (всего 8 мс), а у другой наиболее продолжительный — 200 мс.

В тех случаях, когда торможение в нейронах коры определяли косвенными методами (по угнетению фоновой активности нейрона или по подавлению его ответоспособности на тестирующее раздражение) длительность такого торможения достигала 120—240 мс, а у нейронов MI — 400 и даже 600 мс. Гистограммы, характеризующие продолжительность первичных тормозных реакций нейронов SI и MI при стимуляции R, представлены на рис. 2.

У 20 нейронов SI и 23 нейронов MI торможение в ответ на раздражение R развивалось после ортодромного возбуждения. Нейроны с таким типом реакции были выделены в особую группу, однако, торможение этих нервных клеток не обязательно является вторичным. Оно может представлять собой самостоятельный процесс, генетически не связанный с возбуждением данной клетки (рис. 3, а, б).

В исследуемых областях коры головного мозга выявлены нейроны, которые реагировали на раздражение специфического афферентного входа и на стимуляцию R. Такая конвергенция обнаружена у 77 нейронов SI и 82 нейронов MI, что соответственно составляет 36,8 и 47,1 % от числа нейронов, обследованных в данной области.

62 нейрона SI и 39 нейронов MI реагировали на раздражение обоих входов первичным возбуждением (рис. 4, а), а 11 нейронов SI и 20 нейронов MI — тормозились (рис. 4, б). Две первые клетки SI и 23 — MI отвечали на специфическую посылку возбуждением, но тормозились при стимуляции R (рис. 4, в). И, наконец, два нейрона SI тормозились в от-

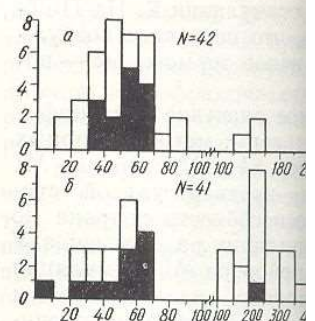
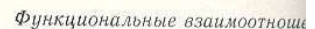


Рис. 2. Длительность первично
щегося в отве-
т на вертикали — количество реакций
и ме. Чёрные столбики — результаты
спонтанной активности и периодов

Рис. 3. Реакции нейронов сомы
ниве ретикулярной ткани на раздражение лапы

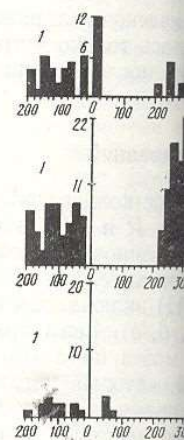


Рис. 4. Постстимулы
б, в) моторной кор-
вентрол.

(рис.
ялось
и, а в
зилось
щее

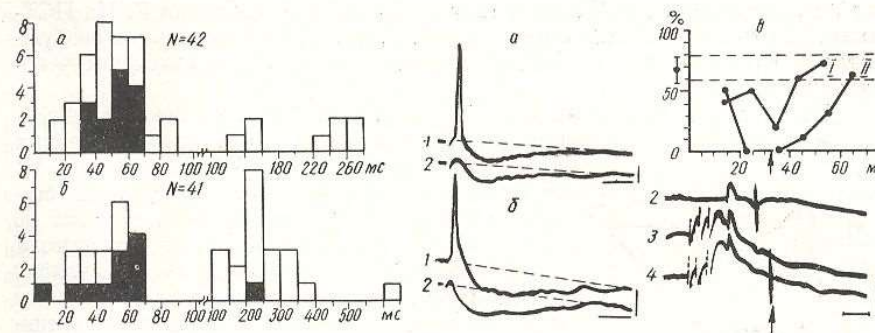


Рис. 2. Длительность первичного торможения нейронов SI (a) и MI (б), развивающегося в ответ на стимуляцию ретикулярного ядра.

По вертикали — количество реакций. N — общее количество измерений, представленных на гистограммах. Черные столбики — результаты измерения ТПСП, светлые — продолжительность торможения спонтанной активности и первых угнетения ответов на тестирующее раздражение после кондиционирующей стимуляции R.

Рис. 3. Реакции нейронов соматосенсорной (a, б) и моторной (б) коры на раздражение ретикулярного ядра зритательного бугра.

На а, б: 1 — до и 2 — после частичной деполяризации нейрона. Калибровка 5 мВ, 5 мс. На в: по горизонтали — время между кондиционирующими и тестирующими стимулами, по вертикали — вероятность возникновения ответа на тестирующий стимул. Слева от вертикали — вероятность возникновения ответа нейрона на изолированное применение тестирующего раздражения и ее доверительный интервал (на графике показан, пунктиром, $p=0,95$). I — изменение ответственности нейрона на раздражение лапы после стимуляции R одиночным импульсом, II — тремя импульсами частотой 400/с, 3 — ответ того же нейрона на раздражение лапы; 4 — возникновение спонтанного потенциала действия (отмечен стрелкой) в период полного торможения ответа нейрона на афферентный стимул после раздражения R. Калибровка — 10 мВ, 10 мс.

нейронов
аксима-
нейронов
был за-
днее про-

или кос-
или по-
не) для-
лов MI —
ельность
ияции R,

раздраж-
ны с па-
торможе-
Оно мо-
п не свя-

нейроны,
ерентного
77 нейро-
и 47,1 %

ние обоих
и 20 ней-
и 23 — MI
ились при
лись в от-

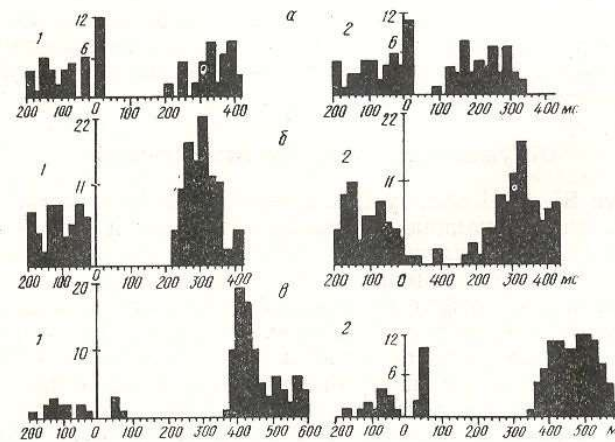


Рис. 4. Постстимульные гистограммы реакций трех нейронов (а, б, в) моторной коры на раздражение ретикулярного (1) и вентролатерального (2) ядер таламуса.

По вертикали — количество потенциалов действия в бине гистограммы. При построении гистограмм использованы 20 реализаций соответствующей реакции. Объяснения в тексте.

вет на раздражение VPL, но возбуждались при стимуляции R. На ПСТ-гистограммах, представленных на рис. 4, видно, что первичное возбуждение нейрона сменяется торможением, а первичное торможение — последующей отдачей.

Для того, чтобы установить функциональное значение неспецифических влияний, поступающих из R к нейронам коры, методом парных стимулов у 47 нейронов SI и 27 нейронов MI исследовано влияние предварительной стимуляции R на ответоспособность нейрона по отношению к специальному раздражению. У 44 нейронов SI и 26 нейронов MI стимуляция R сопровождалась полным или частичным торможением ответа на последующее специ-

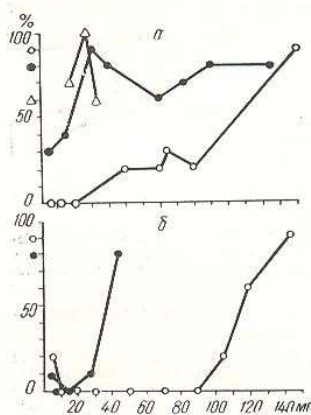


Рис. 5. Изменение ответоспособности трех нейронов соматосенсорной (a) и двух нейронов моторной (b) коры на специфическую аfferентную посылку под влиянием кондиционирующего раздражения ретикулярного ядра таламуса.

По горизонтали — время между кондиционирующими и тестирующими стимулами. Слева от вертикали — вероятность ответа каждого из нейронов на изолированное применение тестирующего раздражения.

фическое раздражение. Этот эффект развивался через 2,0—18,0 мс после раздражения R и наблюдался в течение последующих 28—160 мс.

У некоторых нейронов, после восстановления ответоспособности и фазы непродолжительной супернормальности, возникала вторая волна торможения ответов на специфическое аfferентное раздражение (рис. 5).

Облегчение ответа на тестирующее специфическое раздражение после кондиционирующей стимуляции R наблюдалось только у трех нейронов SI. Облегчение развивалось через 5—11 мс после кондиционирования и длилось всего 20—30 мс (рис. 5, a).

Обсуждение результатов исследований

В области SI и MI обнаружено значительное количество нейронов, реагирующих на стимуляцию оральных отделов R и VA ортодромным возбуждением, которое выражено, в основном, одиночным потенциалом действия (см. таблицу). Обращает на себя внимание, что большинство нейронов с этим типом ответа (34 в SI и 31 в MI) включаются в реакцию в первые 4 мс после раздражения (рис. 1, a, б, в). Если принять, что ортодромное возбуждение поступает в кору мозга по аксонам нейронов R примерно с тем же спектром скоростей, который установленками для антидромного возбуждения, и считать время от прихода импульса до возникновения ортодромного потенциала действия равным 1,1—1,2 мс [7], то большинство потенциалов действия, латентный период которых короче 3,6 мс, являются моносинаптическими. Таким образом, в R безусловно имеются нервные клетки, которые могут быть характеризованы как нейроны «выхода» неспецифической системы таламуса в кору головного мозга.

Необходимо подчеркнуть, что фокальные электрические реакции, регистрируемые с поверхности коры головного мозга при раздражении

оральных отделов R и VA, включают в себя тонус колебание и супрессию положительных первичных потенциалов таламуса. Это обстоятельство подтверждается возбуждением нейронов, проходящих в этой области.

После 4 мс количество колебаний каждой последующей волны, уменьшается. Подобное поведение нейронов коры, реагирующих на раздражение релейного ядра таламуса, объясняется включением в них клеток SI и MI, реагирующих на раздражение R, по-видимому.

Тормозные процессы были зарегистрированы у 27 нейронов коры. Следует, однако, учитывать, что 27 нейронов MI (соответственно 76 и 27 нейронов коры) расположены в микрозлектродах, т. е. торможение в виде выявленным.

Сопоставление латентного периода и ТПСП, показывающие в коре возникают по-разному (см. табл. 1, б, в). Практически синхронные и тормозящие влияния синхронизированы в нервной клетке. Так у нейрона 3, б, латентный период ТПСП составляет 1,7 мс, латентный период кондиционной инактивации между 3, б, 3 мс. Таким образом, 1,6 мс после начала возбуждения.

Если время проведения волны возбуждения в коре равно времени распространения по аксону для SI 0,6—2,0 мс, для ТПСП равна 0,3 мс [12], то время распространения ТПСП с более продолжительной латентностью, что в этих случаях подтверждается, что в этих случаях тормозящие импульсы возбуждают кору головного мозга.

Однако имеются факты, подтверждающие, что тормозящие кортикопетальные волны возбуждаются кортико-петальным клеткам. Так, если ортодромный раздражитель, вызванный раздражением R, сохранена, то, очевидно, просто не поступает (рис. 16, 18, 25, 26).

а ПСТ-
озбуж-
е — по-
специфич-
ных МИ
ой сти-
иона по-
ению. У-
чениям
специ-

ронов со-
(б) ко-
юд влия-
улярного

и тестиру-
тель ответа
тестирую-

-18,0 мс
их 28—
ности и
я волна
ражение
ние пос-
х нейро-
нирова-

нейронов;
дромным
циалом
ышинство
реакцию
ять, что
м нейро-
овлен на-
импуль-
ым 1,1—
период ко-
разом, в
характе-
ламуса в
реакции,
дражении

оральных отделов R и VA, представляют собой монофазное отрицательное колебание и существенным образом отличаются от начально положительных первичных ответов на стимуляцию релейных ядер таламуса. Это обстоятельство указывает, что стимуляция R и VA не сопровождается возбуждением кортикопетальных аксонов релейных нейронов, проходящих в этой области транзитом.

После 4 мс количество нейронов, включающихся в реакцию в течение каждой последующей миллисекунды, уже не нарастает, а, напротив, уменьшается. Подобное быстро наступающее уменьшение числа нейронов коры, реагирующих возбуждением, описано в слуховой коре при раздражении релейного ядра или таламокортикальных волокон и объясняется включением тормозящих нейронов, блокирующих распространение возбуждения в нейронных цепях [7]. Уменьшение числа нервных клеток SI и MI, реагирующих возбуждением через 4 мс после раздражения R, по-видимому, также обусловлено торможением.

Тормозные процессы в ответ на раздражение R в наших опытах были зарегистрированы у 23,4 % нейронов SI и 27,7 % нейронов MI. Следует, однако, учитывать, что реакции большинства нейронов SI и MI (соответственно 76 и 73 %) были исследованы при внеклеточном расположении микроЭлектрода. При таких условиях отведения первичное торможение в виде ТПСП у части нейронов могло остаться невыявленным.

Сопоставление латентных периодов ортодромных потенциалов действия и ТПСП, показывает, что при стимуляции R процессы торможения в коре возникают почти одновременно с возбуждением (рис. 1, а, б, в). Практически синхронное поступление к нейрону возбуждающих и тормозящих влияний со стороны R удается наблюдать и на одной нервной клетке. Так у нейрона, ответы которого представлены на рис. 3, б, латентный период ВПСП, вызванного раздражением R, составляет 1,7 мс, латентный период пикового потенциала — 2,2 мс. Латентный период ТПСП, который был точно определен после деполяризационной инактивации механизма генерации потенциала действия, равен 3, 3 мс. Таким образом, торможение развивается всего лишь через 1, 6 мс после начала возбуждения.

Если время проведения возбуждения от R к нейронам исследуемых зон коры равно времени проведения антидромного возбуждения на то же расстояние по аксонам кортикофугальных нейронов и составляет для SI 0,6—2,0 мс, для MI — 0,6—2,5 мс, а синаптическая задержка ТПСП равна 0,3 мс [12], то ТПСП с латентным периодом равным (и короче) 2,3—2,8 мс можно рассматривать как моносинаптические. ТПСП с более продолжительными латентными периодами имеют полисинаптическую природу. Наличие в нейронах SI и MI ТПСП, свидетельствует, что в этих случаях раздражение R сопровождается поступлением тормозящих импульсов непосредственно к нейронам коры головного мозга.

Однако имеются факты, указывающие, что R контролирует прохождение кортикопетальных сигналов и на пути к исследуемым нервным клеткам. Так, если ответ нейрона коры на синхронный аfferентный залп, вызванный раздражением релейного ядра, после кондиционирующего раздражения R подавлен, а спонтанная активность нейрона сохранена, то, очевидно, что возбуждающий импульс в клетке просто не поступает (рис. 3, в). Морфологические и электрофизиологические данные свидетельствуют, что в этих случаях R вызывает торможение аfferентного потока на уровне релейных ядер таламуса [10, 16, 18, 25, 26].

В наших опытах установлено, что кондиционирующее раздражение R вызывает, как правило, снижение ответоспособности нейрона на последующий тестирующий импульс. Влияние R в этих случаях проявляется ограничением аfferентной информации, поступающей к нервным клеткам коры головного мозга. В самое последнее время было показано, что R регулирует и эfferентную функцию коры посредством торможения нейронов пирамидного тракта в MI [6].

В SI и MI обнаружены нервные клетки, реагировавшие на стимуляцию R антидромным потенциалом действия (соответственно 6,2 и 4,6 % от числа нейронов, обследованных в каждой из этих зон). Наличие таких клеток создает возможность контроля деятельности R со стороны коры. Кортикофугальные влияния, опосредованные через R, по мнению ряда исследователей, оказывают на релейные ядра таламуса синхронизирующий эффект [11, 24].

Выводы

1. При исследовании реакций 209 нейронов SI и 179 нейронов MI на электрическое раздражение передних отделов R и VA таламуса обнаружены реципрокные связи между этими образованиями. 36,4 % нейронов SI и 28,1 % нейронов MI реагировали на раздражение R и VA ортодромным возбуждением. Наличие среди этих нейронов клеток, возбуждающихся моносинаптически указывает, что в R и VA имеются нейроны, посылающие аксоны в кору головного мозга. У 6,2 % нейронов SI и 4,6 % нейронов MI зарегистрированы антидромные потенциалы действия.

2. 23,4 % нейронов SI и 27,7 % нейронов MI в ответ на раздражение R (или VA) тормозились.

3. У 36,8 % нейронов SI и 47,1 % нейронов MI выявлена конвергенция специфических и неспецифических влияний. При наличии такой конвергенции раздражение R вызывает торможение ответа на периферическое раздражение или стимуляцию релейных структур.

Литература

1. Волошин М. Я. Электрические реакции нейронов сомато-сенсорной коры кошки на раздражение ретикулярного и вентрального переднего ядер таламуса.—Нейрофизиология, 1972, 4, № 4, с. 384—390.
 2. Волошин М. Я., Прокопенко В. Ф. Электрические реакции нейронов ретикулярного и вентрального переднего ядер зрительного бугра кошки на раздражение орбито-фронтальной коры.—Нейрофизиология, 1974, 6, № 5, с. 472—480.
 3. Волошин М. Я., Прокопенко В. Ф. Реакции нейронов ретикулярного и вентрального переднего ядер таламуса на раздражение вентролатерального ядра таламуса и моторной коры.—Нейрофизиология, 1978, 10, № 5, с. 460—468.
 4. Ермолова В. Ю., Бруханская Н. А., Кратин Ю. Г., Толченова Г. А. Меченные пероксидазой хрена нейроны неспецифических ядер таламуса, проецирующиеся в соматосенсорную зону коры мозга кошки.—Нейрофизиология, 1979, 11, № 5, с. 435.
 5. Нарикашвили С. П., Арутюнов В. С., Мониашвили Э. С. Активность отдельных нейронов коры больших полушарий головного мозга во время реакции вовлечения.—Журн. высш. нервн. деят., 1965, 15, № 2, с. 238—242.
 6. Нанобашвили З. И., Нарикашвили С. П., Мегебян Э. С. Влияние раздражения ретикулярного ядра таламуса на нейронную активность моторной коры кошки.—Сообщ. АН ГрузССР, 1979, 95, № 3, с. 689—692.
 7. Серков Ф. Н. Электрофизиология высших отделов слуховой системы.—Киев : Наукова думка, 1977.—215 с.
 8. Сторожук В. М. Функциональная организация нейронов соматической коры.—Киев : Наукова думка, 1974.—270 с.
 9. Creutzfeldt O., Akimoto H. Konvergenz und gegenseitige Beeinflussung von Impulsen aus der Retina und den unspezifischen Thalamuskernen an einzelnen Neuronen des optischen Cortex.—Arch Physiol. Nervenkr., 1958, 196, N 5, p. 520—538.
 10. Dubin M. W., Cleland B. G. The organization of visual inputs to interneurons of the lateral geniculate nucleus of the cat.—J. Neurophysiol., 1977, 40, N 2, p. 410—427.

11. *Frigyesi T. L., Schwartz R.* ties in the cat and the squirrel motor activities. Raven Press
12. *Eccles J. C. (Экклз Дж.)* Mir, 1971.—168 с.
13. *Hayrapetian A. A.* Effect of sensorimotor cortical neu-
14. *Jasper H. H.* Unspecific thal-
15. *Jasper H. H., Ajmone-Marsa* National Research Council, O
16. *Jones E. G.* Some aspects of J. Comp. Neurol., 1975, 162, N
17. *Koshino K., Kuroda R., Mog* nucleus and magnocellular p Med. J. Osaka Univ., 1978, 29,
18. *Minderhoud J. M.* An anato- reticular nucleus.—Exp. Brain
19. *Morillo A.* Microelectrode at- terrelationships of specific tems.—Electroencephal. Clin.
20. *Morison R. S., Dempsey E. siol.*, 1942, 135, N 2, p. 281—29
21. *Nelson C. N., Bignall K. E.* to cortical polysensory units 189—206.
22. *O'Brien J. H., Rosenblum S* evoked activity in cat poster
23. *Sasaki K., Matsuda Y., Kawa* pathway for the parietal cor
24. *Scheibel M. E., Scheibel A. B.*, thalamic cell ensembles—In- ties. Raven Press Publishers, N
25. *Sugitani M.* Electrophysiologi neurones related to somatic s
26. *Sumitomo I., Nakamura M.*, neurons of rat lateral genicul
27. *Yasuda T., Shimono T.* Electr neurones and their responses Jap. J. Physiol., 1978, 28, N 5, p

Отдел физиологии коры головного мозга
Института физиологии им. А. А.
АН УССР, Киев

FUNCTIONAL RELATION ANTERIOR THALAMUS

Responses of 209 somatosensory neurons of reticular (R) and visual cortex experiments on cats anaesthetized and immobilized with myorelaxants. 6.2 % of SI and 4.6 % of MI (latency 0.6-2.5 ms), 36.4 % of S excitation, mainly by a single spike were observed in 23.4 % of SI and 21.4 % of MI neurons. The longest IPSP was about 2.0 ms and the maximal amplitude was 12.0 mV. VA stimulation reached 120-210 Hz and 47.1 % of MI neurons responded. Conditional stimulation of specific neurons to stimulation of specific areas was detected. Conditional stimulation of specific neurons to stimulation of specific areas was detected.

11. Frigyesi T. L., Schwartz R. Cortical control of thalamic sensorimotor relay activities in the cat and the squirrel monkey.— In: *Corticothalamic projections and sensorimotor activities*. Raven Press Publishers, N. Y., 1972, p. 161—195.
12. Eccles J. C. (Экклэс Дж.) Тормозные пути центральной нервной системы.— М.: Мир, 1971.—168 с.
13. Hayrapetian A. A. Effect of electrical stimulation of thalamic reticular nucleus on sensorimotor cortical neurons in cats.— *Exp. Neurol.* 1978, **58**, N 2, p. 323—334.
14. Jasper H. H. Unspecific thalamocortical relations. In: *Handbook of physiology. Neurophysiology section (v. 2)*. The Williams & Wilkins Co. Baltimore, 1960, p. 1307.
15. Jasper H. H., Ajmone-Marsan C. A stereotaxic atlas of the diencephalon of the cat. National Research Council, Ottawa, Canada, 1954.
16. Jones E. G. Some aspects of the organization of the thalamic reticular complex.— *J. Comp. Neurol.*, 1975, **162**, N 3, p. 285—308.
17. Koshino K., Kuroda R., Mogami H., Takimoto N. Some observations of centromedian nucleus and magnocellular part of medial geniculate body on sensory modulation.— *Med. J. Osaka Univ.*, 1978, **29**, N 1—2, p. 29—37.
18. Minderhoud J. M. An anatomical study of the efferent connections of the thalamic reticular nucleus.— *Exp. Brain Res.*, 1971, **12**, N 4, p. 435—446.
19. Morillo A. Microelectrode analysis of the some functional characteristics and interrelationships of specific, association and non-specific thalamo-cortical systems.— *Electroencephal. Clin. Neurophysiol.*, 1961, **13**, N 1, p. 9—20.
20. Morison R. S., Dempsey E. W. A study of thalamocortical relations.— *Am. J. Physiol.*, 1942, **135**, N 2, p. 281—292.
21. Nelson C. N., Bignall K. E. Interactions of sensory and nonspecific thalamic inputs to cortical polysensory units in squirrel monkeys.— *Exp. Neurol.*, 1973, **40**, N 1, p. 189—206.
22. O'Brien J. H., Rosenblum S. M. Contribution of nonspecific thalamus to sensory evoked activity in cat posteriuciate cortex.— *J. Neurophysiol.* 1974, **37**, N 3, p. 430.
23. Sasaki K., Matsuda Y., Kawaguchi S., Mizuno N. On the cerebello-thalamo-cerebral pathway for the parietal cortex.— *Exp. Brain Res.*, 1972, **16**, N 1, p. 89—103.
24. Scheibel M. E., Scheibel A. B., Davis T. H. Some substrates for centrifugal control over thalamic cell ensembles.— In: *Corticothalamic projections and sensorimotor activities*. Raven Press Publishers, N. Y., 1972, p. 131—160.
25. Sugitani M. Electrophysiological and sensory properties of the thalamic reticular neurones related to somatic sensation in rats.— *J. Physiol.*, 1979, **290**, N 1, p. 75—95.
26. Sumitomo I., Nakamura M., Ivana K. Location and function of the so-called interneurons of rat lateral geniculate body.— *Exp. Neurol.*, 1976, **51**, N 1, p. 110—123.
27. Yasuda T., Shimono T. Electrophysiological studies of two types of thalamo-cortical neurones and their responses to stimulation of mesencephalic reticular formation.— *Jap. J. Physiol.*, 1978, **28**, N 5, p. 569—581.

Отдел физиологии коры головного мозга
Института физиологии им. А. А. Богомольца
АН УССР, Киев

Поступила в редакцию
1.IV 1980 г.

M. Ya. Voloshin

FUNCTIONAL RELATIONSHIPS OF RETICULAR AND VENTRAL ANTERIOR THALAMIC NUCLEI WITH CEREBRAL CORTEX

Summary

Responses of 209 somatosensory and 179 motor cortical neurons to electrical stimulation of reticular (R) and ventral anterior (VA) thalamic nuclei were studied in acute experiments on cats anaesthetized with thiopental sodium (35 mg/kg, intraperitoneally) and immobilized with myorelaxine (2 mg/kg).

6.2 % of SI and 4.6 % of MI neurons responded to stimulation by antidromic spike (latency 0.6—2.5 ms). 36.4 % of SI and 28.1 of MI neurons responded with orthodromic excitation, mainly by a single spike with a latency of 1.3—40.0 ms. Inhibitory reactions were observed in 23.4 % of SI and in 27.7 % of MI neurons. The minimal latency of IPSP was 2.0 ms and the maximal — 10.0 ms. The duration of most of IPSPs was 25—69 ms, but the longest IPSP was about 200 ms. The inhibition of spontaneous activity after R and VA stimulation reached 120—240 but in some cases it was 400—600 ms. In 36.8 % of SI and 47.1 % of MI neurons the convergence of specific and nonspecific influences was detected. Conditional stimulation of R inhibited the response in most of such neurons to stimulation of specific input. The duration of the inhibition ranged between 28—160 ms.